

# Единая модель псевдощелевых особенностей проводимости в ВТСП

К. Д. Цэндин<sup>1)</sup>, Д. В. Денисов, Б. П. Попов<sup>+</sup>

Физико-технический институт им. А. Ф. Иоффе РАН, 194021 Санкт-Петербург, Россия

<sup>+</sup> Государственный политехнический университет, 195251 Санкт-Петербург, Россия

Поступила в редакцию 6 апреля 2004 г.

После переработки 15 июня 2004 г.

В рамках модели *U*-минус центров с единых позиций объяснен феномен псевдощели в недодопированных и оптимально допированных кислородом образцах ВТСП системы  $\text{Y}_1\text{Ba}_2\text{Cu}_3\text{O}_x$ . Показано, что псевдощелевые особенности проводимости не связаны непосредственно со сверхпроводимостью, а возникают из-за существования статистического взаимодействия *U*-минус центров и дырок валентной зоны. Именно из-за этого взаимодействия концентрация дырок в валентной зоне не остается постоянной. Ее изменения с температурой отличаются для различных взаимных расположений уровня Ферми и верха валентной зоны. Эти отличия и приводят к разным температурным зависимостям проводимости в недодопированных и оптимально допированных образцах.

PACS: 71.30.+h, 74.20.-z

**Введение.** В литературе долгое время дискутируется проблема псевдощелевых особенностей в высокотемпературных сверхпроводниках (ВТСП) [1]. Эти особенности проявляются в целом ряде экспериментально наблюдаемых величин. В проводимости недодопированных по кислороду ВТСП эти особенности проявляются в том, что в температурном интервале непосредственно перед переходом в сверхпроводящее состояние температурный ход проводимости имеет не металлический, а полупроводниковый характер.

В ряде работ считается, что такая температурная зависимость проводимости в недодопированных образцах ВТСП связана с механизмами рассеяния носителей на флуктуациях спиновой или зарядовой плотности. При этом подразумевалось, что уровень Ферми находится внутри валентной зоны, то есть речь шла об интерпретации, в которой недодопированные ВТСП являются не полупроводниками, а металлами, но плохими из-за сильных механизмов рассеяния.

В оптимально допированных кислородом ВТСП псевдощелевые особенности проводимости тоже проявляются таким образом, что в температурном ходе сопротивления есть отклонение от линейной металлической зависимости, но в другую сторону по сравнению с недодопированными ВТСП. При понижении температуры сопротивление уменьшается быстрее, чем в области высоких температур, то есть при низких температурах появляется добавочная проводимость.

В литературе считается, что такая добавочная проводимость свидетельствует о наличии пар при температуре выше  $T_c$ , которые при температурах, близких к  $T_c$ , могут давать в проводимость вклад, связанный с флюктуационной когерентностью пар, описываемой теорией Асламазова–Ларкина [2]. Таким образом, псевдощелевые особенности проводимости в недодопированных и оптимально допированных образцах ВТСП объясняются различным образом.

В настоящей работе будет показано, что псевдощелевые особенности проводимости в недодопированных и оптимально допированных образцах ВТСП могут быть естественным образом объяснены с единой точки зрения в рамках модели *U*-минус центров.

**Модель *U*-минус центров.** Модель *U*-минус центров основана на результатах работы Кулака и Педана [3] и описывается гамильтонианом Хаббарда с отрицательной эффективной корреляционной энергией:

$$H = -U \cdot \sum n_{i\uparrow} \cdot n_{i\downarrow} + \sum t_{ij} \cdot a_{i\sigma}^+ \cdot a_{j\sigma}, \quad (1)$$

где  $n_{i\sigma} = a_{i\sigma}^+ \cdot a_{i\sigma}$  – числа заполнения,  $a_{i\sigma}^+$  и  $a_{i\sigma}$  – операторы рождения и уничтожения электрона со спином  $\sigma$  на узле  $i$ , а  $t_{ij}$  – матричный элемент перехода между ближайшими центрами локализации (*U*-минус центрами);  $U > 0$  и считается, что  $t_{ij} \ll U$ . Отрицательные значения “ $-U$ ” приводят к притяжению на одном узле электронов с противоположными спинами. Предполагается, что энергия такой связи превышает обычную кулоновскую корреляционную энергию Хаббарда, то есть результирующее взаимо-

<sup>1)</sup> e-mail: tsendin@mail.ioffe.ru

действие  $-U$  в (1) отрицательно. При низких температурах гамильтониан (1) приводит к возникновению сверхпроводящей корреляции между парами.

В терминах делокализованных электронов второе слагаемое в гамильтониане (1) соответствует кинетической энергии зонного движения, а первое – притяжению между электронами с энергией  $-U$ . В модели БКШ ширина зоны велика, и поэтому взаимодействие между электронами рассматривается как возмущение. В модели  $U$ -минус центров энергия  $U$  настолько велика по сравнению с  $t_{ij}$ , что в (1) малым считается второе слагаемое по отношению к первому. В этом и заключается основное отличие изучаемой модели от теории БКШ. Из-за неравенства  $U \gg t_{ij}$  приближение, использованное в [3], было названо приближением локализованных пар. Однако ясно, что учет второго члена в (1) принципиально важен для проявления транспортных свойств системы.

При  $t_{ij} = 0$  состояние системы представляет совокупность пустых узлов, занятых одним электроном, и узлов, занятых двумя электронами ( $D^+$ ,  $D^0$ ,  $D^-$ -состояния  $U$ -минус центров, соответственно). Энергии ионизации  $D^-$  и  $D^0$  обозначены на рис.1 энергиями  $E_1$  и  $E_2$ . Возмущение, связанное со вторым чле-

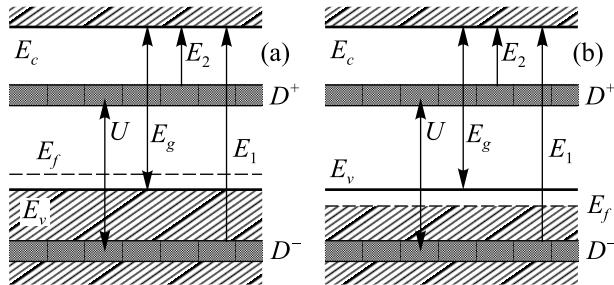


Рис.1. Зонная диаграмма  $\text{Y}_1\text{Ba}_2\text{Cu}_3\text{O}_x$ . Темным цветом отмечены зоны  $D^+$  и  $D^-$  состояний  $U$ -минус центров: (а) случай недодированных образцов, уровень Ферми лежит выше валентной зоны; (б) случай оптимально дипированных и передодированных образцов, уровень Ферми лежит внутри валентной зоны

ном в (1), то есть ситуация с  $t_{ij} \neq 0$  приводит к появлению делокализованных зонных состояний пар и состояния  $D^+$  и  $D^-$  расщепляются на зоны двухчастичного (бозонного) переноса – зоны  $U$ -минус центров. При этом перенос заряда с одного  $U$ -минус центра на другой происходит с помощью двух виртуальных одноэлектронных переходов так, что энергия зонного движения пар равна  $t_{ij}^2/U$  [3].

Основное отличие данной модели от теории БКШ заключается в том, что в БКШ предполагается одновременное образование пар и переход их в конденси-

рованное состояние при температуре сверхпроводящего перехода. В рассматриваемой же модели связанные в пару электроны существуют при температурах, много выше комнатной, а при  $T_c$  происходит только их конденсация, приводящая к сверхпроводимости.

**Применимость модели.** Модель  $U$ -минус центров была первоначально разработана для объяснения сверхпроводимости в халькогенидных стеклообразных полупроводниках (ХСП), так как в них экспериментально подтверждено наличие большой концентрации  $U$ -минус центров. После успешного применения модели к этим материалам [4] она была применена для описания свойств ВТСП системы  $\text{YBaCuO}$ . С помощью рассматриваемой модели удалось объяснить с использованием реальных физических величин высокие значения температуры сверхпроводящего перехода ( $T_c$ ). Оценка  $T_c$  производилась по формуле (2) из работы [3]:

$$T_c = W \cdot (1 - 2\nu) / \ln(\nu^{-1} - 1), \quad (2)$$

где  $W$  – ширина зоны двухчастичного переноса, равная в простой кубической решетке, состоящей из  $U$ -минус центров,  $2z t_{ij}^2/U$ ,  $z$  – число ближайших соседей одного  $U$ -минус центра;  $\nu$  – относительная концентрация пар, равная  $n/2D$  ( $n$  – концентрация электронов в системе  $U$ -минус центров, а  $D$  – концентрация  $U$ -минус центров).

Согласно формуле (2), зависимость  $T_c$  от  $\nu$  имеет куполообразную форму с максимумом при  $\nu = 1/2$ , при этом, когда  $\nu$  больше  $1/2$ , сверхпроводимость возникает в зоне  $D^+$ , а когда  $\nu$  меньше  $1/2$ , – в зоне  $D^-$ . Поэтому, как было показано в работе [5], формула (2) совершенно естественно объясняет куполообразную зависимость температуры сверхпроводящего перехода от степени дипирования, которая наблюдается экспериментально в целом ряде ВТСП систем. На рис.2, для примера, приведена куполообразная зависимость  $T_c$  от степени дипирования кислородом  $x$  в системе  $\text{YBaCuO}$ .

В работе [5] предполагалось, что  $U$ -минус центрами являются некоторые атомы меди вместе со своим кислородным окружением, и предполагалось, что при структурном фазовом переходе в системе  $\text{YBaCuO}$  по мере дипирования кислородом в системе  $U$ -минус центров происходит переход от  $z$ , равного 4, к  $z$ , равному 6. Теоретические зависимости  $T_c$  от  $x$  нанесены штриховыми линиями для  $z$ , равного 4 и 6, а суммарная теоретическая зависимость  $T_c$  от  $x$  соответствующая переходу с одной пунктирной линии на другую, нанесена сплошной линией. Связь степени

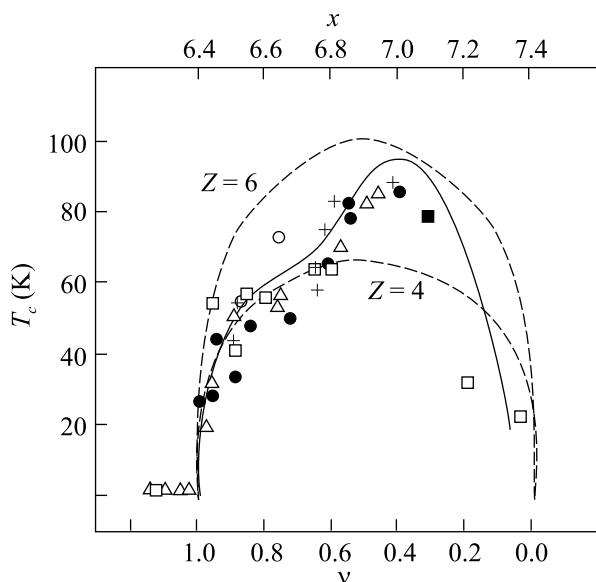


Рис.2. Зависимость  $T_c$  в  $\text{Y}_1\text{Ba}_2\text{Cu}_3\text{O}_x$  от допирования кислородом. Параметр  $\nu$  связан с допированием  $x$  по формуле  $\nu = 7.4 - x$  [5]. Ссылки на экспериментальные работы приведены также в [5]

допирования  $x$  с параметром  $\nu$  из формулы (2) определялась в [5] по формуле  $\nu = 7.4 - x$ .

По нашему мнению, отличие сверхпроводников на основе купратов от классических БКШ сверхпроводников заключается в том, что в теории БКШ электроны из зоны проводимости (или валентной), находящиеся рядом с уровнем Ферми, при сверхпроводящем переходе образуют пары, которые впоследствии являются сверхпроводящими носителями заряда. В модели же  $U$ -минус центров связанные пары, отвечающие за сверхпроводимость, существуют при температурах, гораздо больших температуры перехода. Однако эффективная масса связанный пары настолько велика, что в нормальном состоянии подвижность, а следовательно, и проводимость таких частиц ничтожна мала, таким образом за проводимость в нормальном состоянии отвечают простые дырки или электроны. В  $\text{YBaCuO}$   $U$ -минус центры забирают на себя из валентной зоны часть электронов, зависящую от температуры и степени допирования. Образовавшиеся в результате этого дырки валентной зоны и являются носителями заряда при температурах выше точки перехода. Поэтому в отличие от БКШ в модели  $U$ -минус центров существует два типа носителей: дырки (или электроны) для нормального тока и сильно связанные пары для сверхпроводящего тока.

Рассмотрим теперь подробней ситуацию с псевдощелевыми особенностями проводимости. В конце 90-х годов в некоторых ВТСП на основе оксидов

было замечено аномальное поведение энергетического спектра материала выше точки сверхпроводящего перехода. Известно, что при сверхпроводимости в спектре появляется щель, связанная с образованием пар и переходом их в конденсированное состояние. Однако в некоторых, в основном недодопированных, образцах оксидных ВТСП щель в спектре материала остается и выше точки перехода. Является ли наличие такой щели признаком остатков сверхпроводимости или нет, остается до конца нерешенным вопросом, и поэтому она названа псевдощелью. По этому поводу существуют несколько точек зрения.

Некоторые исследователи [1] полагают, что псевдощель в ВТСП аналогична псевдощели по подвижности в неупорядоченных полупроводниках, в частности в ХСП. Известно, что в ХСП материалах в запрещенной зоне имеются "хвосты" плотности состояний из валентной и проводящей зон. Благодаря этим хвостам ширина запрещенной зоны может сильно сужаться, а в некоторых случаях, когда эти плотности состояний перекрываются, вообще исчезнуть. Поскольку подвижность носителей заряда при нулевой температуре в этих хвостах равна нулю, а плотность состояния конечна, соответствующий энергетический интервал называют псевдощелью [6].

Существует и другая точка зрения, в которой предполагается, что в исследуемых ВТСП материалах какая-то часть пар существует в когерентном состоянии при температурах, превышающих сверхпроводящую на десятки и сотни градусов. Считается, что именно благодаря этим оставшимся парам в материале проявляется сверхпроводящая щель в спектре. К тому же сверхпроводимость, которой обладают эти пары, влияя на проводимость материала, эффективно уменьшает его удельное сопротивление (эффект добавочной проводимости) [7].

Как видно, оба приведенных здесь подхода для объяснения псевдощели противоположны по своей физической природе и могут каждый объяснить только полупроводниковое поведение или добавочную проводимость.

Подход к решению данной проблемы с точки зрения модели  $U$ -минус центров позволил дать единое объяснение псевдощелевых особенностей ВТСП.

Учтем для этого особое свойство  $U$ -минус центров, открытое в ХСП [8, 9] – их способность пиннинговать уровень Ферми. Эффект пиннинга заключается в том, что пока концентрация примесей в ХСП не превышает концентрацию  $U$ -минус центров, уровень Ферми всегда остается посередине между зонами  $D^+$  и  $D^-$ . Этот же эффект может присутствовать и в ВТСП, если там существуют  $U$ -минус центры.

В [10] предполагалось, что середина между зонами  $U$ -минус центров в недодопированных образцах лежит чуть выше верха валентной зоны (рис.1а). Это приводит к тому, что в рассматриваемых ВТСП на активацию одного электрона из полностью занятой валентной зоны надо затратить не энергию, сравнимую с величиной запрещенной зоны, а энергию, соответствующую нескольким мэВ, то есть равную щели между верхом валентной зоны и серединой между зонами  $U$ -минус центров. Ввиду малой величины эта щель будет проявляться только при температурах ниже 100–150 К, то есть при температурах порядка  $T_c$ . Расчеты, сделанные с применением метода действующих масс [10], показали хорошее согласие экспериментальных и теоретических данных (рис.3), и это позволило нам заключить, что небольшой зазор

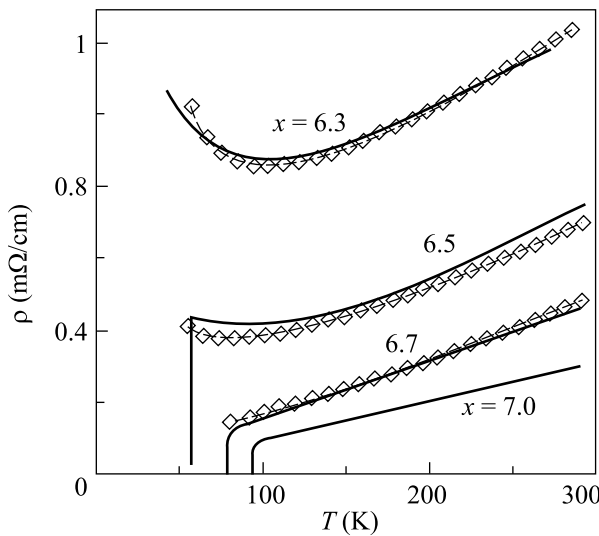


Рис.3. Зависимость удельного сопротивления от температуры. Сплошными линиями показаны экспериментальные данные при различном содержании кислорода [11]. Ромбами показаны теоретически рассчитанные зависимости для недодопированных образцов [10]

между верхом валентной зоны и серединой между зонами  $U$ -минус центров и есть псевдощель. Отсюда ясно, что в нашей модели псевдощель в недодопированных  $\text{Y}_1\text{Ba}_2\text{Cu}_3\text{O}_x$  не носит сверхпроводящего характера, а является реальной щелью и своим появлением полностью обязана свойству  $U$ -минус центров пиннинговать уровень Ферми посередине между  $D^+$  и  $D^-$  зонами (рис.1а).

**Псевдощель в оптимально допированных образцах.** Точные измерения удельного сопротивления материала в зависимости от температуры показали, что для образцов, близких по содержанию кис-

лорода к оптимальным, есть отклонение от металлического хода проводимости [7].

Если в недодопированных образцах отклонение было в сторону полупроводниковой зависимости и температурная зависимость сопротивления по мере уменьшения температуры загибалась вверх (рис.3), то в рассматриваемых образцах она загибается вниз, возникает так называемая добавочная проводимость. Такая аномалия часто также связывается с проявлением псевдощели.

Покажем, что “загибы вверх” и “загибы вниз” в модели  $U$ -минус центров имеют одну физическую природу и связаны с тем, что в первом случае уровень Ферми ( $E_f$ ) находится над верхом валентной зоны, а во втором он находится внутри валентной зоны (рис.1). Гамильтониан (1) с учетом валентной зоны преобразуется в выражение, где последнее слагаемое описывает валентную зону:

$$H = E_2 \sum_{i\sigma} n_{i\sigma} - U \sum_i n_{i\uparrow} n_{i\downarrow} + \sum_k \varepsilon_k a_{k\uparrow} a_{k\downarrow}. \quad (3)$$

В гамильтониане (3) мы пренебрегли членом  $\sum t_{ij} a_{i\sigma}^+ a_{j\sigma}$ , связанным с переходом электрона с узла на узел, так как для статистики заселения уровней он несуществен. Будем считать, что электроны валентной зоны и  $U$ -минус центров непосредственно не взаимодействуют, поэтому гамильтониан (3) описывает две независимые подсистемы. Тогда термодинамический потенциал системы можно рассматривать как сумму двух независимых потенциалов: для состояний  $U$ -минус центров и для состояний валентной зоны:

$$\Omega = \Omega_U + \Omega_v. \quad (4)$$

В следующем выражении суммирование проводится по состояниям  $U$ -минус центров, которые описываются набором  $n_1$  и  $n_2$ . Здесь  $n_1$  соответствует заполнению  $U$ -минус центра одним электроном, а  $n_2$  – связанный парой электронов. Возможные значения чисел заполнения для  $U$ -минус центра: отсутствие электрона ( $g = 1, n_1 = 0, n_2 = 0$ ), один электрон на центре (уровень энергии  $E_2$  дважды вырожден,  $g = 2, n_1 = 1, n_2 = 0$ ), на центре находится связанный парой ( $g = 1, n_1 = 2, n_2 = 1$ ). Поскольку для всех  $U$ -минус центров энергии одинаковы, а общее число центров –  $D$ , то получаем:

$$\begin{aligned} \Omega_U = -T \ln & \left( \sum_{n_1, n_2} g(n_1, n_2) \times \right. \\ & \left. \times \exp \left( \frac{\mu n_1 - n_1 E_2 - n_2 U}{T} \right) \right)^D = \end{aligned}$$

$$= -T \cdot D \ln \left( 1 + 2 \exp \left( -\frac{E_2 - \mu}{T} \right) + \exp \left( -\frac{2E_2 - U - 2\mu}{T} \right) \right). \quad (5)$$

Вторая часть потенциала  $\Omega_v$  соответствует валентной зоне, и суммирование в ней производится классически по двум состояниям 0 и 1. Суммирование в валентной зоне по состояниям, соответствующим разным волновым векторам  $\mathbf{k}$ , можно заменить интегралом:

$$\begin{aligned} \Omega_v &= \sum_k \Omega_k = \\ &= \sum_k -T \ln \left( \sum_{n_k=0,1} \exp \left( \frac{\mu n_k - \varepsilon_k n_k}{T} \right) \right) = \\ &= -T \sum_k \ln \left( 1 + \exp \left( -\frac{\varepsilon_k - \mu}{T} \right) \right) = \\ &= -T \int \ln \left( 1 + \exp \left( -\frac{\varepsilon_k - \mu}{T} \right) \right) d\mathbf{k}. \end{aligned} \quad (6)$$

Таким образом, конечное выражение для термодинамического потенциала (4) имеет вид

$$\begin{aligned} \Omega &= -T \cdot D \ln \left( 1 + 2e^{(E_2 - \mu)/T} + e^{(2E_2 - U - 2\mu)/T} \right) - \\ &- T \int \ln \left( 1 + e^{(\varepsilon_k - \mu)/T} \right) d\mathbf{k}. \end{aligned} \quad (7)$$

Рассчитаем полную концентрацию электронов  $N$  в системе. Второе слагаемое в (8) дает ферми-распределение электронов в валентной зоне. Первое слагаемое в (8) соответствует числу электронов в системе  $U$ -минус центров:

$$\begin{aligned} N &= -\frac{\partial \Omega}{\partial \mu} = D \frac{2e^{(E_2 - \mu)/T} + 2e^{(2E_2 - U - 2\mu)/T}}{1 + 2e^{(E_2 - \mu)/T} + e^{(2E_2 - U - 2\mu)/T}} + \\ &+ \int \frac{A\sqrt{E}}{1 + e^{(\mu - E)/T}} dE. \end{aligned} \quad (8)$$

Выражение (8) описывает распределение частиц для невзаимодействующих систем валентной зоны и  $U$ -минус центров.

Как говорилось выше, энергия  $U$  настолько велика, что можно не учитывать член  $\exp(-(E_2 - \mu)/T)$ , связанный с концентрацией одиночных электронов. Переходим также к относительной концентрации, разделив все выражение (8) на удвоенную концентрацию  $U$ -минус центров  $2D$ . Учтем, что рассматриваемая нами система замкнутая, то есть общая концентрация электронов  $N$  – константа.

Так как мы пренебрегли одиночными электронами в системе  $U$ -минус центров, то изменение относительной концентрации связанных пар  $\nu$  может происходить только за счет изменения относительной концентрации электронов в валентной зоне. Можно сказать, что каждые два ушедших из валентной зоны электрона образуют связанную пару на центре. Или, другими словами, количество появившихся дырок, которые будут участвовать в проводимости, равно удвоенному количеству пар, образовавшихся на  $U$ -минус центрах (9):

$$\Delta\nu \cdot 2D = \Delta p. \quad (9)$$

Рассмотрим подробнее величину  $\Delta\nu$ . Полная концентрация пар  $\nu$  определяется по формуле (10). Изменение концентрации пар  $\Delta\nu$  будем отсчитывать от параметра  $\nu_0$ , который определяет концентрацию пар, заданную химическим строением материала. В случае  $\text{Y}_1\text{Ba}_2\text{Cu}_3\text{O}_x$  этот параметр определяется количеством кислорода, и мы считаем его известным. Если не учитывать валентную зону, то  $\nu$  совпадал бы с  $\nu_0$ :

$$\begin{aligned} \nu &= \frac{n}{2D} = \frac{e^{(2E_2 - U - 2\mu)/T}}{1 + e^{(2E_2 - U - 2\mu)/T}} = \\ &= \frac{1}{1 + e^{2((E_2 - U/2) - \mu)/T}}, \quad \Delta\nu = \nu - \nu_0. \end{aligned} \quad (10)$$

Количество дырок рассчитаем, проинтегрировав по всей валентной зоне ( $E_v$  – верх зоны,  $E_{vb}$  – дно зоны) (11). Для простоты считаем, что дырки в валентной зоне появляются только из-за ухода электронов в систему  $U$ -минус центров. Поэтому, если бы не было  $U$ -минус центров, то и не было бы дырок в валентной зоне:

$$p = \int_{E_{vb}}^{E_v} \frac{A\sqrt{E_v - E}}{1 + e^{\frac{\mu - E}{T}}} dE, \quad \Delta p = p. \quad (11)$$

Сведя воедино выражения (9)–(11), получим уравнение для химического потенциала  $\mu$ :

$$\begin{aligned} \nu - \nu_0 - p/2D &= 0 \Leftrightarrow \left( \frac{1}{1 + e^{2((E_2 - U/2) - \mu)/T}} \right) - \\ &- \left( \frac{A}{2D} \int_{E_{vb}}^{E_v} \frac{\sqrt{E_v - E}}{1 + e^{(\mu - E)/T}} dE \right) - \nu_0 = 0. \end{aligned} \quad (12)$$

Найдя химический потенциал  $\mu$  из уравнения (12), можно, используя формулу (11), рассчитать для заданной температуры количество дырок  $p$  в валентной зоне. Зная концентрацию дырок, нетрудно вычислить и удельное сопротивление материала (13) в за-

всемости от температуры для различных значений параметра  $\nu_0$ :

$$\rho(T, \nu_0) = \frac{m \cdot T^s}{p(T, \nu_0)}, \quad (13)$$

где  $m$  – константа, не зависящая от температуры,  $s$  – параметр, зависящий от механизма рассеяния дырок и описывающий температурную зависимость подвижности.

При обработке результатов варьировались два параметра:  $A/D$  и  $E_2 - U/2$ . Параметр  $A/D$  определяет отношение полной концентрации состояний в валентной зоне к концентрации  $U$ -минус центров. Величина энергетического интервала  $E_2 - U/2$  определяет взаимное расположение середины между уровнями  $D^+$  и  $D^-$  и верхом валентной зоны ( $E_v$ ). На рис.4 показаны результаты, полученные для следующих данных: полное количество состояний в валентной зоне – около  $2 \cdot 10^{21} \text{ см}^{-3}$ , ее ширина – 2 эВ (далее не увеличение ширины не влияет на расчеты), параметр  $s$  равен 1.7, концентрация  $U$ -минус центров –  $5 \cdot 10^{19} \text{ см}^{-3}$ , ширина псевдощели  $E_2 - U/2$  изменялась от 5.5 до –8 мэВ. Отрицательные значения псевдощели соответствуют тому, что уровень Ферми находится внутри валентной зоны (таким образом верх валентной зоны принят за ноль). Концентрация носителей заряда (дырок) в валентной зоне изменялась как от температуры, так и от степени дипирования. Например, для  $x = 6.55$  ( $E_2 - U/2 = 5.5$  мэВ) при температуре 0 К валентная зона полностью заполнена, а при температуре 300 К концентрация дырок равна  $1.3 \cdot 10^{18} \text{ см}^{-3}$ , для  $x = 7.0$  ( $E_2 - U/2 = -8$  мэВ) концентрация при 0 К равна  $4.77 \cdot 10^{17} \text{ см}^{-3}$ , а при 300 К –  $4.69 \cdot 10^{18} \text{ см}^{-3}$ .

При расположении уровней  $U$ -минус центров так, что их середина лежит выше валентной зоны более чем на 1 мэВ, материал при температурах, близких к сверхпроводящему переходу, ведет себя как полупроводник (псевдощелевой “загиб вверх”, рис.4 – сплошные линии).

При расположении уровней  $U$ -минус центров так, что их середина находится внутри валентной зоны, неглубоко от ее верха, можно наблюдать “загибы вниз” кривой удельного сопротивления на рис.4.

Эффект, возникающий в последнем случае, можно объяснить следующим образом. Когда середина уровней  $U$ -минус центров (а следовательно, и уровень Ферми при нуле градусов) входит в валентную зону, то при нулевой температуре все электроны выше уровня Ферми переходят на  $U$ -минус центры, образуя количество дырок  $p_0$ . При низких температурах наклон кривой удельного сопротивления будет определяться в основном отношением  $1/p_0$ .

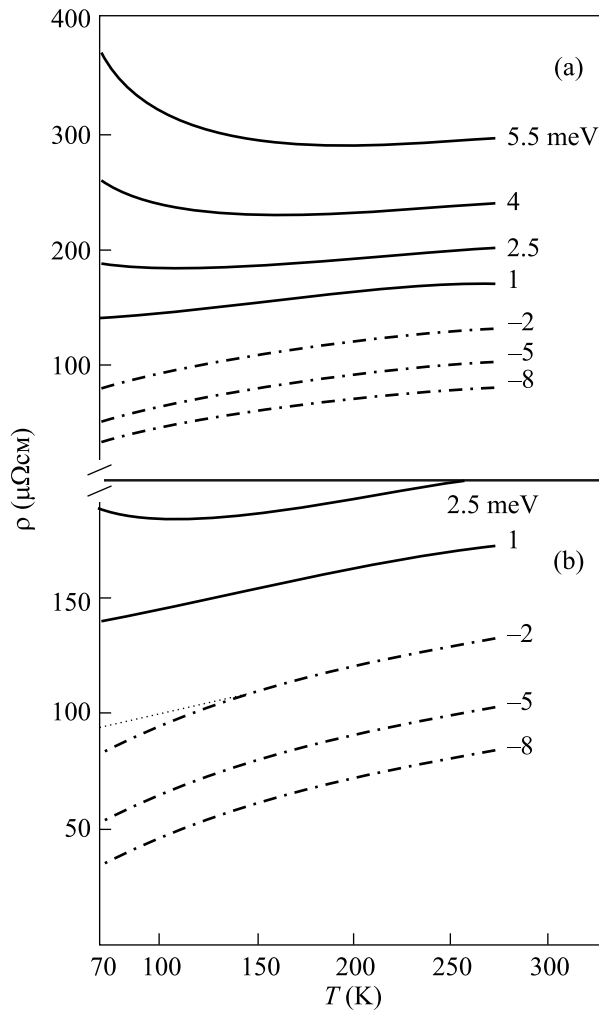


Рис.4. Удельное сопротивление материала в зависимости от дипирования кислородом. Справа от кривых показаны значения ширины псевдощели. Отрицательные значения энергии означают, что уровень Ферми лежит внутри валентной зоны (штрихпунктирные кривые). На рис.4б появление “добавочной проводимости” показано в увеличенном масштабе. Для наглядности на одной кривой (–2 мэВ) пунктирной линией показан металлический ход без добавочной проводимости

При более высоких температурах количество электронов, ушедших из валентной зоны на  $U$ -минус центры, увеличивается, то есть  $\rho$  растет, и наклон зависимости  $\rho(T)$ , приближенно определяемый отношением  $1/p$ , уменьшается (13). Разница между двумя наклонами тем нагляднее, чем меньше первоначальное количество дырок  $p_0$ . Поэтому аномальная ситуация с “загибами вниз” лучше всего видна в образцах, где уровень Ферми еще не очень глубоко вошел в валентную зону (рис.4б). С другой стороны, при очень малых значениях  $p_0$  более крутой наклон кривой удельного сопротивления

$1/p_0$  не проявляется, поскольку он должен был бы возникать при температурах, более низких, чем температура сверхпроводящего перехода. То есть эффект “дополнительной проводимости” в этом случае будет практически ненаблюдаем.

Проанализировав всю ситуацию с полупроводниковым поведением ВТСП системы  $\text{YBa}_2\text{Cu}_3\text{O}_x$  при малом допировании кислородом и с добавочной проводимостью при оптимальном допировании, мы получили изменение положения уровня Ферми при  $T = 0 \text{ K}$  в зависимости от степени допирования кислородом (рис.5). Такое движение уровня Ферми подтверждается возрастанием проводимости материала

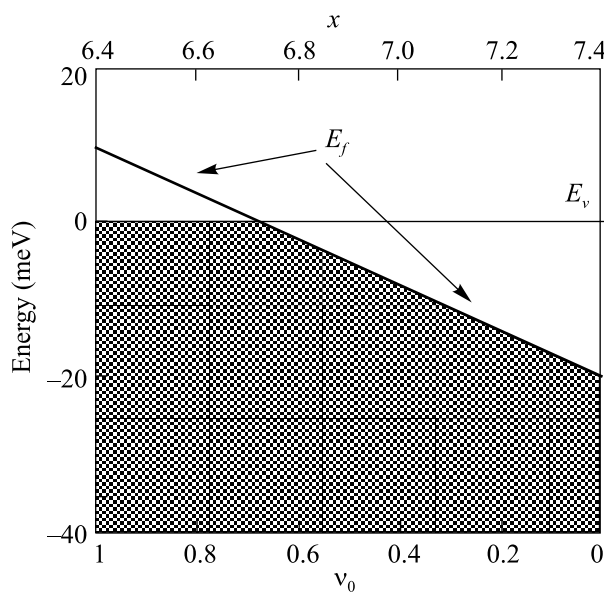


Рис.5. Положение уровня Ферми в зависимости от степени допирования кислородом материала  $\text{Y}_1\text{Ba}_2\text{Cu}_3\text{O}_x$ . Параметр  $\nu_0$  связан с  $x$  по формуле  $\nu_0 = 7.4 - x$  [5]. Серым цветом показано заполнение электронами валентной зоны. По мере того, как уровень Ферми проникает в валентную зону, электроны, лежащие выше него, уходят на  $U$ -минус центры

с допированием, так как при больших концентрациях кислорода уровень Ферми все больше входит в валентную зону, тем самым увеличивая в ней количество дырок, отвечающих за проводимость. На рис.2 на оси абсцисс была построена зависимость от  $\nu$ , а не от  $\nu_0$ , как на рис.5. Это обосновано тем, что на момент получения приведенных на рис.2 данных еще не было учтено влияние валентной зоны, а в этом случае  $\nu$  и  $\nu_0$  совпадают.

**Выводы.** В рамках модели  $U$ -минус центров с единичными позициями объяснен феномен псевдощели в недодированных и оптимально допированных кислородом образцах ВТСП системы  $\text{Y}_1\text{Ba}_2\text{Cu}_3\text{O}_x$ . В модели  $U$ -минус центров за сверхпроводимость отвечают зоны  $D^+$  и  $D^-$  состояний  $U$ -минус центров, а за проводящие свойства в нормальном состоянии – дырки валентной зоны.

Показано, что псевдощелевые особенности проводимости не связаны непосредственно со сверхпроводимостью, а возникают из-за существования статистического взаимодействия  $U$ -минус центров и дырок валентной зоны. Именно из-за этого взаимодействия концентрация дырок в валентной зоне не остается постоянной. Ее изменения с температурой отличаются для различных взаимных расположений уровня Ферми и верха валентной зоны. Эти отличия и приводят к различию в температурных зависимостях проводимости в недодированных и оптимально допированных образцах. Таким образом, предположение, сделанное в модели  $U$ -минус центров, о том, что в ВТСП при температурах выше температуры сверхпроводящего перехода существуют два типа носителей заряда: связанные пары электронов (дырок) и просто одиночные дырки, подтвердилось при расчетах проводимости материала в нормальном состоянии.

1. M. V. Sadovskii, Usp. Fiz. Nauk **171**, 539 (2001).
2. L. G. Aslamazov and A. I. Larkin, Phys. Lett. **A26**, 238 (1978).
3. I. O. Kulik and A. G. Pedan, Zh. Eksp. Teor. Fiz. **79**, 1469 (1980).
4. К. Д. Цэндин, Б. П. Попов, Письма в ЖТФ **24**, 45 (1998).
5. K. D. Tsendin and B. P. Popov, Supercond. Sci. Technol. **12**, 255 (1999).
6. Н. Ф. Мотт, Э. Дэвис, Электронные процессы в некристаллических веществах, М.: Мир, 1974 (N. F. Mott and E. A. Davis, *Electron Processes in Non-Crystalline Materials*, Oxford, Clarendon Press, 1979).
7. Д. Д. Прокофьев, М. П. Волков, Ю. А. Бойков, ФТТ **45**, 1168 (2003).
8. D. Adler and E. F. Yoffa, Phys. Rev. Lett. **36**, 1293 (1975).
9. P. W. Anderson, Phys. Rev. **109**, 1492 (1975).
10. K. D. Tsendin and D. V. Denisov, Supercond. Sci. Technol. **16**, 80 (2003).
11. S. Tanaka, S. Uchida, H. Takagi et al., Int. J. Mod. Phys. **B1**, 755 (1987).